

1985. Т. 5. С. 219. [6] Ландау Л. Д., Лифшиц Е. М. Статистическая физика. М., 1976. [7] Devonshire A. F.//Adv. in Phys. 1954. 3, N 10. P. 86. [8] Блинц Р., Жекш Б. Сегнетоэлектрики и антисегнетоэлектрики. Динамика решетки. М., 1975. [9] Гуфан Ю. М., Торгашев В. И.//ФТТ. 1980. 22, № 6. С. 1629. [10] Гуфан Ю. М., Кутьин Е. И., Лорман В. Л., Сидоренко Е. М.//ФТТ. 1987. 29, № 3. С. 756. [11] Гуфан Ю. М., Ларин Е. С.//ФТТ. 1987. 29, № 1. С. 8. [12] Изюмов Ю. А., Сыромятников В. Н. Фазовые переходы и симметрия кристаллов. М., 1984. [13] Чобот Г. М., Варикаш В. М.//ДАН БССР. 1988. 32, № 3. С. 223. [14] Dvořák V., Ishibashi Y.//J. Phys. Soc. Jap. 1976. 41, N 2. P. 548.

Поступила в редакцию
28.11.88

ВЕСТН. МОСК. УН-ТА. СЕР. 3, ФИЗИКА. АСТРОНОМИЯ. 1990. Т. 31, № 1

УДК 538.566.5

КОЭФФИЦИЕНТ ПРОПУСКАНИЯ РАВНОМЕРНО ИЗОГНУТЫХ РЕНТГЕНОВСКИХ ВОЛНОВОДОВ В РЕЖИМЕ ШЕПЧУЩИХ МОД

В. А. Бушуев, М. Н. Оруджалиев, Р. Н. Кузьмин

(кафедра физики твердого тела)

На основе явления полного внешнего отражения проведен теоретический анализ коэффициента пропускания рентгеновских волноводов в зависимости от их длины, радиуса изгиба, расстояния между стенками и расходимости пучка. Показана возможность поворота рентгеновских пучков на углы до $10\text{--}20^\circ$ с эффективностью порядка 10%.

В последнее время значительно возрос интерес к исследованиям по транспортировке и изменению направления распространения пучков рентгеновского излучения с помощью явления полного внешнего отражения (ПВО). Явление ПВО заключается в резком возрастании коэффициента отражения $P_1 \approx 1$ при углах скольжения $\theta \leq \theta_c$, где $\theta_c = \sqrt{|\chi_r|}$ — критический угол ПВО, и обусловлено тем, что в рентгеновском диапазоне длин волн показатель преломления среды меньше единицы, поскольку действительная часть поляризуемости χ_r отрицательна. Для жесткого рентгеновского излучения с $\lambda \sim 1$ Å типичные значения θ_c составляют $5\text{--}15$ угл. мин.

Рентгеновский волновод с многократным ПВО впервые был реализован в работе [1]. В работах [2—6] показано, что транспортировка рентгеновского излучения вдоль прямых волноводов (полых стеклянных и металлических трубок с внутренним диаметром порядка $0,1\text{--}1$ см и длиной до нескольких метров) происходит без существенных потерь, что позволяет в десятки раз повысить плотность излучения на мишени, удаленной на некоторое расстояние от источника [5, 6].

Поворот рентгеновского пучка на несколько градусов экспериментально осуществлен при скользящих углах отражения от вогнутых цилиндрических зеркал [7] (см. также теоретические работы [8, 9]) и при транспортировке в тонких ($\sim 0,5$ мм) изогнутых капиллярах [6, 10]. В работе [11] впервые показана принципиальная возможность концентрации расходящегося характеристического излучения рентгеновской трубки с помощью системы капилляров или коаксиальных сферических зеркал, в результате которой интенсивность излучения обычных рентгеновских трубок на выходе ПВО-системы может стать сравнимой с интенсивностью мощных синхротронных источников.

В настоящей работе проведен анализ коэффициента пропускания изогнутых рентгеновских волноводов в зависимости от их длины, радиуса изгиба, расстояния между стенками и расходимости пучка на входе в волновод.

Рассмотрим прохождение рентгеновского излучения через равномерно изогнутый волновод с длиной L и радиусом изгиба R , образованный двумя цилиндрическими поверхностями A и B с расстоянием между ними $2d$. На расстоянии $h \approx d/\varphi_0$ от входного торца волновода на его оси расположен источник рентгеновского излучения S (рис. 1).

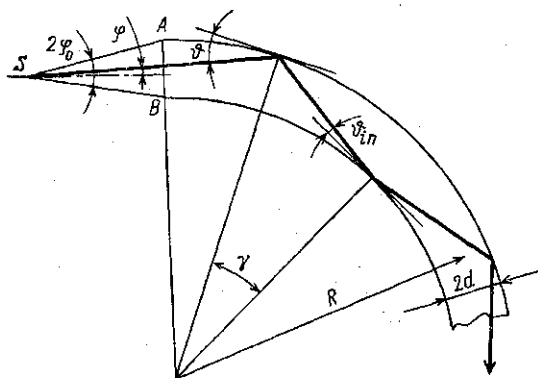


Рис. 1

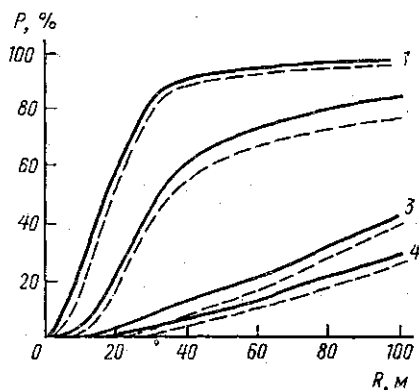


Рис. 2

Рис. 1. Геометрия распространения рентгеновских лучей по равномерно изогнутому волноводу

Рис. 2. Коэффициент пропускания рентгеновского волновода в зависимости от радиуса изгиба при апертурах $\varphi_0=10^{-3}$ (сплошные кривые) и $\varphi_0=2 \cdot 10^{-3}$ (штриховые): $d=0,1$ мм, $L=1$ (1) и 5 м (2); $d=1$ мм, $L=1$ (3) и 5 м (4)

В дальнейшем будем считать, что $\lambda/d \ll \varphi_c$, поэтому справедливо приближение геометрической оптики (см. в [5]).

Получим связь между углом отклонения φ какого-либо выделенного рентгеновского луча, выходящего из источника S , по отношению к оси волновода и углом скольжения ϑ по отношению к его стенкам. В случае падения луча на поверхность A из рис. 1 имеем

$$\frac{R+d}{\cos \varphi} = \frac{R+h \sin \varphi}{\cos \vartheta}$$

откуда при $d \ll R$ и $\varphi, \vartheta \ll 1$ следует, что

$$\vartheta^2 = \varphi^2 + 2a(1 - \varphi/\varphi_0), \quad (1)$$

где $a=d/R$. Соотношение (1) справедливо при $\varphi_1 < \varphi \leq \varphi_0$, где угол φ_1 (см. (3)) определяется из условия касательного падения луча на поверхность B . При уменьшении угла φ от φ_0 до φ_1 угол скольжения $\vartheta(\varphi)$ изменяется от φ_0 до $\vartheta=2\sqrt{a}$. Если $R=\infty$ (прямой волновод), то $a=0$ и $\vartheta=|\varphi|$.

Очевидно, что наиболее оптимальное условие ввода излучения в волновод определяется неравенством $\vartheta < \vartheta_c$. Так, при падении луча вдоль оси волновода, т. е. при $\varphi=0$, отсюда вытекает следующее требование на радиус изгиба волновода: $R > 2d/\vartheta_c^2$.

При падении луча на поверхность B для угла скольжения $\vartheta_i(\varphi)$ получим

$$\vartheta_i^2 = \varphi^2 - 2a(1 + \varphi/\varphi_0), \quad (2)$$

где $-\varphi_0 \leq \varphi \leq \varphi_1$. Отражение от поверхности A сменяется отражением от поверхности B при $\varphi = \varphi_1$, где граничный угол φ_1 определяется из условия $\vartheta_i = 0$ в (2):

$$\varphi_1 = a/\varphi_0 - \sqrt{(a/\varphi_0)^2 + 2a} < 0. \quad (3)$$

Угол скольжения ϑ_i в (2) монотонно спадает от $\vartheta_i = \varphi_0$ при $\varphi = -\varphi_0$ до $\vartheta_i = 0$ при $\varphi = \varphi_1$.

Пусть ϑ_{in} — угол скольжения, который составляет луч по отношению к поверхности B в результате предыдущего отражения от поверхности A с углом скольжения ϑ (см. рис. 1). Получим связь между ϑ_{in} и ϑ . Из рис. 1 следует, что

$$(R-d)/\cos \vartheta = (R+d)/\cos \vartheta_{in}.$$

Отсюда при малых углах ϑ и ϑ_{in} получим

$$\vartheta_{in} = \sqrt{\vartheta^2 - 4a}. \quad (4)$$

Из (4) следует, что при $\vartheta > \vartheta_0$, где $\vartheta_0 = 2\sqrt{a}$, распространение излучения в волноводе представляет собой чередующиеся отражения от обеих стенок волновода, а при $\vartheta < \vartheta_0$ осуществляется так называемый режим шепчущих (скользящих) мод, когда излучение многократно отражается только от поверхности A . Если $\vartheta \approx \vartheta_c$, то из условия $\vartheta < \vartheta_0$ следует, что режим шепчущих мод реализуется при радиусах изгиба волновода, меньших некоторого критического радиуса, т. е. $R < R_c$, где $R_c = 4d/\vartheta_c^2$. Отметим также, что для поворота пучка на больший угол при заданной длине L требуется и больший изгиб волновода, т. е. меньший радиус R . Вместе с тем, как указывалось выше, величина R ограничена снизу условием оптимального ввода энергии. Так, для осевого луча $R > R_c/2$. При $R \gg R_c$ транспортировка в изогнутом волноводе практически не отличается от случая прямого волновода.

Из выражений (1) и (4) следует, что режим шепчущих мод осуществляется при углах φ , лежащих в интервале $\varphi_1 < \varphi \leq \varphi_m$, где $\varphi_m = \min\{\varphi_0, \varphi_2\}$,

$$\varphi_2 = a/\varphi_0 + \sqrt{(a/\varphi_0)^2 + 2a}. \quad (5)$$

С уменьшением параметра a , т. е. с приближением волновода к прямому или с уменьшением зазора $2d$, интервал углов φ , в котором реализуется режим шепчущих мод, также уменьшается.

Для поворота луча на угол ψ требуется $N_{AA} = \text{ent}(\psi/2\vartheta) + 1$ последовательных отражений от поверхности A , где $\text{ent}(x)$ означает целую часть x . Поскольку $L = R\psi$, то при $\psi/2\vartheta \gg 1$

$$N_{AA} \approx L/(2R\vartheta).$$

Траектория луча представляет собой правильный многоугольник, вписанный в дугу окружности с радиусом $R+d$. Угол скольжения ϑ для всех отражений одинаков, так что коэффициент пропускания волновода для какого-либо луча, падающего под углом ϑ к поверхности A , имеет вид

$$P_{AA}(\vartheta) = [P_1(\vartheta)]^{N_{AA}}, \quad (6)$$

где $P_1(\vartheta)$ — коэффициент однократного отражения. Если внутренние поверхности волновода достаточно гладкие, то P_1 представляет собой френелевский коэффициент отражения:

$$P_1(\vartheta) = \left| \frac{1 - \eta}{1 + \eta} \right|^2, \quad (7)$$

где $\eta = \sqrt{1 + \chi/\vartheta^2}$, $\chi = \chi_r + i\chi_i$ — рентгеновская поляризуемость материала стенок волновода. Анализ отражения от слабощероховатой плоской поверхности см., например, в работах [12—14]. Отметим также, что в экспериментах [1—4, 6] внутренняя поверхность волноводов не подвергалась какой-либо специальной обработке, тем не менее коэффициент прохождения был достаточно высок, что в первом приближении свидетельствует о слабом влиянии шероховатостей.

Если $\varphi_2 < \varphi_0$, то в интервале углов $\varphi_2 < \varphi \leq \varphi_0$ реализуется волноводный режим чередующихся отражений типа $ABAB\dots$ от обеих поверхностей волновода. Углы скольжения по отношению к поверхностям A и B составляют ϑ и ϑ_{in} соответственно. Используя (5), можно показать, что условие $\varphi_2 < \varphi_0$ эквивалентно условию, наложенному на входную апертуру волновода: $\varphi_0 > \vartheta_0$.

Из рис. 1 легко определить, что длина пути луча между двумя последовательными отражениями следующим образом связана с расстоянием d и углами ϑ и γ , где $\gamma = \vartheta - \vartheta_{in}$ — соответствующий центральный угол:

$$l = (R - d) \sin \gamma / \cos \vartheta.$$

При малых $d \ll R$ и $\gamma, \vartheta \ll 1$ отсюда следует, что $l \approx R\gamma$. В итоге полное число двукратных отражений

$$N_{AB} \approx L/2R\gamma. \quad (8)$$

В случае $a \rightarrow 0$, что отвечает переходу к прямому или к очень тонкому волноводу, угол $\vartheta_{in} \rightarrow \vartheta$, $\gamma \approx 2a/\vartheta$ и из (8) следует известный результат для числа отражений в прямом волноводe: $N = 2N_{AB} = L\vartheta/2d$.

С учетом (8) коэффициент пропускания при отражении от обеих стенок изогнутого волновода равен

$$P_{AB}(\vartheta) = [P_1(\vartheta) P_1(\vartheta_{in})]^{N_{AB}}. \quad (9)$$

Так как $\vartheta_{in} < \vartheta$ (см. (4)), то в (9) коэффициент отражения от внутренней поверхности волновода B больше, чем от поверхности A .

Рассмотрим теперь падение рентгеновского излучения на входной торец волновода в интервале углов $-\varphi_0 \leq \varphi \leq \varphi_1$. При этом ϑ_{in} в (4) следует заменить на ϑ_i из (2). Поскольку, согласно (4), $\vartheta_i > \vartheta_0$, то в указанном интервале углов φ всегда реализуется режим многократных отражений типа $BAVA\dots$ от обеих стенок волновода с коэффициентом пропускания

$$P_{BA}(\vartheta_i) = [P_1(\vartheta_i) P_1(\vartheta)]^{N_{AB}}. \quad (10)$$

Общий коэффициент пропускания, нормированный на интенсивность падающего излучения в пределах входной апертуры волновода, равен

$$P = \frac{1}{2\varphi_0} \left[\int_{-\varphi_0}^{\varphi_1} P_{BA} d\varphi + \int_{\varphi_1}^{\varphi_0} P_{AA} d\varphi \right] \quad (11)$$

при $\varphi_0 < \vartheta_0$ и

$$P = \frac{1}{2\varphi_0} \left[\int_{-\varphi_0}^{\varphi_1} P_{BA} d\varphi + \int_{\varphi_1}^{\varphi_2} P_{AA} d\varphi + \int_{\varphi_2}^{\varphi_0} P_{AB} d\varphi \right] \quad (12)$$

в случае $\varphi_0 > \vartheta_0$. Излучение выходит из волновода с расходимостью $\Delta\varphi' \approx \sqrt{\vartheta_m^2 + \vartheta_0^2}$, где $\vartheta_m = \min\{\vartheta_0, \vartheta_c\}$.

Расчет коэффициента пропускания проводился по формулам (11), (12) с учетом (6)–(10) для волноводов из стекла марки С-52 и рентгеновского CuK_α -излучения ($\lambda = 1,54 \text{ \AA}$, $\vartheta_c = 4 \cdot 10^{-3}$ рад, $\chi_r = -1,6 \cdot 10^{-5}$, $\chi_i = 2 \cdot 10^{-7}$). На рис. 2 изображена зависимость коэффициента пропускания волноводов с длинами 1 и 5 м от радиуса изгиба R для двух значений полуширины зазора $d = 0,1$ и 1 мм и для двух углов апертуры $\varphi_0 = 0,25\vartheta_c$ и $0,5\vartheta_c$. Критические радиусы изгиба R_c составляют 25 и 250 м для тонкого и толстого волноводов соответственно.

Как видно из рис. 2, даже при $R < R_c$ рентгеновские лучи распространяются в волноводе с достаточно высокими коэффициентами пропускания ($P \approx 30$ –60% в случае $d = 0,1$ мм). Для используемых нами значений φ_0 и d при $R < 100$ м выполняется условие $\varphi_0 < \vartheta_0$, поэтому вклад в P отражений в режиме шепчущих мод является определяющим (см. (11)). С увеличением апертуры до $\varphi_0 \geq \vartheta_c$ коэффициент пропускания резко уменьшается, особенно в области малых R . Волноводы с малыми значениями d являются более предпочтительными как с точки зрения увеличения коэффициента пропускания (см. рис. 2), так и для уменьшения расстояния от источника до входного торца волновода. Для поворота рентгеновского пучка, например, на угол $\psi = 5^\circ$ при апертуре $\varphi_0 = 2 \cdot 10^{-3}$ волновод с длиной 1 м следует изогнуть так, чтобы $R = 11,5$ м, а для волновода с $L = 5$ м — $R = 57,3$ м. При этом коэффициенты пропускания тонких волноводов с $d = 0,1$ мм составляют 25 и 17% соответственно.

В заключение отметим, что результаты настоящей работы показывают принципиальную возможность транспортировки рентгеновских пучков со значительным изменением их ориентации (порядка 10 – 20°) и с достаточно высоким (на уровне $\sim 10\%$) коэффициентом пропускания.

СПИСОК ЛИТЕРАТУРЫ

- [1] Pound R. V., Rebka G. A. // Phys. Rev. Lett. 1959. 3, N 9. P. 439. [2] Malozzi P. J., Epstein H. M., Jung R. J. et al. // J. Appl. Phys. 1974. 45, N 4. P. 1891. [3] Vetterling W. T., Pound R. V. // J. Opt. Soc. Am. 1976. 66, N 10. P. 1048. [4] Watanabe M., Hidaka T., Tanino H. et al. // Appl. Phys. Lett. 1984. 45, N 7. P. 725. [5] Виноградов А. В., Кожевников И. В. // ЖТФ. 1984. 54, № 9. С. 1755. [6] Аркадьев В. А., Коломыйцев А. И., Кумахов М. А. и др. // Поверхность. Физика, химия, механика. 1987. № 2. С. 44. [7] Комаров Ф. Ф., Наумович А. И., Самусевич Г. Г. и др. // Там же. 1986. № 6. С. 31. [8] Виноградов А. В., Ковалев В. Ф., Кожевников И. В. и др. // ЖТФ. 1985. 55, № 2. С. 244. [9] Аркадьев В. А., Кумахов М. А., Фаязов Р. Ф. // Письма в ЖТФ. 1988. 14, № 3. С. 226. [10] Александров Ю. М., Валиев К. А., Великов Л. В. и др. // Письма в ЖТФ. 1987. 13, № 5. С. 257. [11] Бушуев В. А., Кузьмин Р. Н. // Препринт физ. фак. МГУ № 26. М., 1988. [12] Петрашень П. В., Ковьев Э. К., Чуховский Ф. Н. и др. // ФТТ. 1983. 25, № 4. С. 1211. [13] Андреев А. В. // УФН. 1985. 145, № 1. С. 113. [14] Виноградов А. В., Зорев Н. Н., Кожевников И. В. и др. // ЖЭТФ. 1988. 94, № 8. С. 203.